

6. Ринкевичюс Б. С., Толкачев А. В. Оптический допплеровский измеритель скорости газовых потоков.—«Квант. электроника», 1974, т. 1, № 9.
7. Василенко Ю. Г., Донцова В. В., Дубницев Ю. Н. Лазерный допплеровский измеритель скорости с применением интерферометра Фабри — Перо.—«Автометрия», 1971, № 3.
8. Paul D. M., Jackson D. A. Measurement of supersonic velocity and turbulence by laser anemometry.—«J. Phys. E: Scientific Instrum.», 1971, vol. 4, p. 173.
9. Morse H., Tillis B., Seifert H., Babcock W. Development of laser-doppler particle sensor for the measurement of velocities in rocket exhausts.—«J. Spacecraft and rockets», 1969, vol. 6, N 3, p. 1168.
10. Хирд Р. Измерение лазерных параметров. М., «Мир», 1970.
11. Ринкевичюс Б. С. Допплеровский метод измерения локальных скоростей с помощью лазеров.—УФН, 1973, т. 111, вып. 2, с. 305.
12. Алхимов А. П., Напырин А. И., Предеин А. Л., Солоухин Р. И. Экспериментальное исследование эффекта скоростного запаздывания мелких частиц в сверхзвуковом потоке газа.—ПМТФ, 1977, № 4.

УДК 533.6.011.8

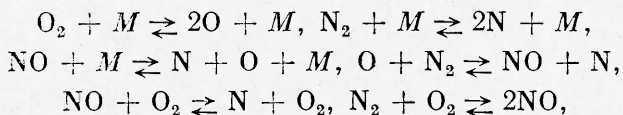
## О РОЛИ КОЛЕБАТЕЛЬНОЙ РЕЛАКСАЦИИ ПРИ НЕРАВНОВЕСНОМ ТЕЧЕНИИ В СОПЛАХ

*B. H. Комаров*  
(Жуковский)

Как известно, в потоке высокогенитального воздуха в соплах наряду с химическими реакциями происходит неравновесное возбуждение колебательных степеней свободы. Роль колебательной неравновесности изучена недостаточно, и при расчетах, как правило, считается, что колебательные степени свободы возбуждены равновесно [1—4].

В данной работе рассматривается неравновесное течение воздуха в соплах гиперболического профиля для диапазона температур и давлений торможения  $3000 \leq T'_0 \leq 5000\text{K}$ ,  $1 \leq p'_0 \leq 100$  атм, характерного для существующих гиперзвуковых экспериментальных установок. На основании проведенных расчетов анализируется зависимость величины замороженной внутренней энергии от режима течения. Делаются выводы о влиянии колебательной релаксации на газодинамические параметры потока.

**Газокинетическая модель.** Для воздуха в рассматриваемом диапазоне температур и давлений основной считается система химических реакций [4]:



где  $M$  — любая из частиц  $O_2$ ,  $N_2$ ,  $O$ ,  $NO$ ,  $N$ .

Считается, что колебательная температура окиси азота находится в равновесии с поступательной температурой. Для расчета колебательной энергии молекул  $N_2$  и  $O_2$  использовались кинетические уравнения работы [3], описывающие колебательную релаксацию в смеси многоатомных газов \*. Система одномерных газодинамических уравнений подробно опи-

\* Как показывают расчеты, в рассматриваемом случае влияние диссоциации на возбуждение колебательных степеней свободы молекул неизначительно.

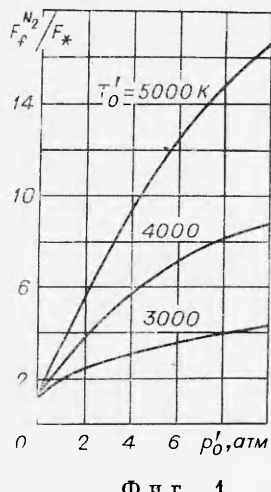
сана в работах [1—5]. Выражения для времен колебательной релаксации и констант скоростей реакций взяты из работ [6—8].

Расчеты проводились для осесимметричных гиперболических сопел, площадь поперечного сечения которых  $F'$  описывается уравнением  $F'/F_*' = 1 + (x'/l')^2$ , где  $l' = r_*'/\operatorname{tg} \varphi'$  ( $\varphi'$  — полуугол асимптотического конуса,  $x'$  — координата вдоль оси сопла,  $F_*' = \pi r_*'^2$ ,  $r_*'$  — радиус минимального сечения сопла, штрих — размерная физическая величина). В дозвуковой части сопла  $l' = 0,262$  см ( $\varphi_1 = 45^\circ$ ,  $r_*' = 0,262$  см), в сверхзвуковой части  $l' = 1$  см. Метод расчета подробно изложен в работах [5, 9, 10].

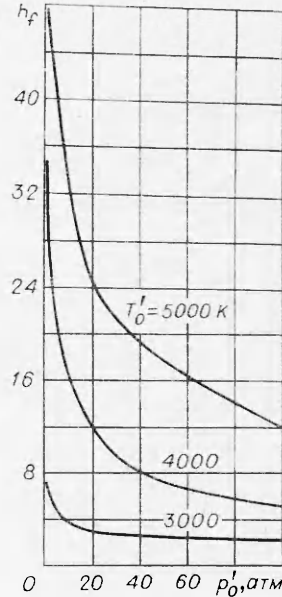
**Результаты расчета.** Замороженная удельная внутренняя энергия потока  $w_f = e_f' + h_f'$ , где  $e_f'$  — замороженная удельная колебательная энергия;  $h_f'$  — замороженная удельная энергия, обусловленная диссоциацией.

Проведенные расчеты показали, что для рассмотренных режимов течения основной вклад в замороженную колебательную энергию  $e_f'$  вносят молекулы  $N_2$ , поскольку величина замороженной концентрации  $N_2$  значительно больше величин замороженных концентраций  $O_2$  и  $NO$ . Энергетический вклад молекул  $NO$  в  $e_f'$  незначителен. Энергетический вклад молекул  $O_2$  составляет примерно 10% от полной замороженной колебательной энергии.

На фиг. 1 приведены зависимости величины сечения  $F_f^{N_2}/F_*$ , в котором замораживается концентрация и колебательная энергия молекул  $N_2$ ,



Фиг. 1

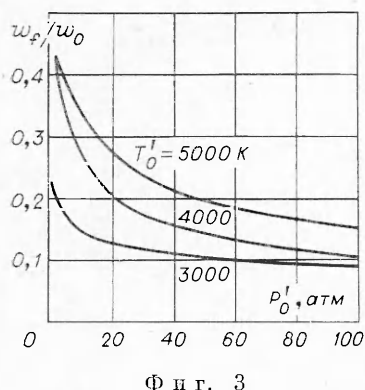


Фиг. 2

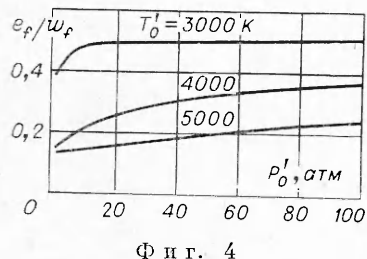
от давления торможения  $\rho_0'$  при некоторых значениях температуры торможения  $T_0'$ . Сечение замораживания внутренней энергии молекул  $N_2$  формально соответствует значению колебательной энергии  $N_2$ , отличающемуся от своего замороженного значения на 1%. Замораживание концентраций компонентов воздуха за исключением концентрации атомов азота, которая пренебрежимо мала для рассматриваемого диапазона параметров торможения, происходит раньше замораживания колебаний  $N_2$  и значительно раньше замораживания колебаний  $O_2$ . На фиг. 2 представ-

лены зависимости безразмерной замороженной химической энергии  $h_f = h'_f / R' T'_\infty$  ( $R'$  — универсальная газовая постоянная,  $T'_\infty = 273\text{K}$ ) от  $p'_0$  для некоторых значений  $T'_0$ .

Зависимость отношения  $w_f/w_0$  замороженной внутренней энергии к полной энергии потока от давления торможения для различных  $T'_0$  приведена на фиг. 3. При  $4000 \leq T'_0 \leq 5000\text{K}$  и  $p'_0 = 1$  атм замороженная энергия может составлять более 40% от полной энергии потока.



Фиг. 3



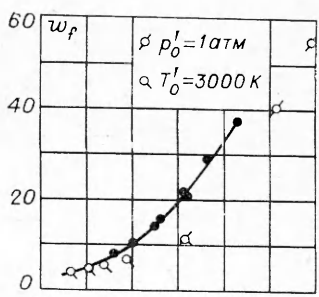
Фиг. 4

На фиг. 4 отражен вклад замороженной колебательной энергии в полную замороженную энергию потока в зависимости от параметров торможения. С ростом давления колебательная релаксация начинает играть все более существенную роль, и при  $T'_0 = 3000\text{K}$  вклад колебаний в замороженную энергию потока сравним со вкладом химических реакций. С увеличением температуры роль колебаний становится все менее существенной и при  $T'_0 = 5000\text{K}$  и произвольном  $p'_0$  из рассматриваемого диапазона давлений величина замороженной колебательной энергии составляет менее 25% от величины замороженной внутренней энергии неравновесного воздуха. Это связано с тем, что в химически релаксирующем потоке начинают возрастать концентрации атомарных компонентов и соответственно убывать концентрации молекул.

**Замечание об энтропийной корреляции.** Так называемая энтропийная корреляция представляет зависимость замороженных параметров потока воздуха от энтропии в форкамере [1, 11]. Она является весьма удобной для количественного определения концентраций и газодинамических параметров неравновесного потока воздуха в соплах. Энтропийная корреляция химически замороженной энергии и концентраций нейтральных компонентов воздуха на основании анализа расчетных данных ряда авторов приведена в работе [12] для широкого диапазона параметров торможения  $4000 \leq T'_0 \leq 15000\text{K}$  и  $10 \leq p'_0 \leq 8957$  атм для параметра  $l' = 1$  см ( $\phi_1 = \phi_2$ ).

Представляет интерес указать область применения энтропийной корреляции. На фиг. 5 построена полученная в данной работе зависимость безразмерной замороженной внутренней энергии  $w_f = w'_f / R' T'_\infty$  от энтропии  $S_0$  в форкамере ( $S_0 = S'_0 \mu_\infty / R'$ , где  $\mu_\infty = 29$  г/моль).

Корреляция вполне удовлетворительна для значений  $S'_0$ , соответствующих параметрам торможения  $p'_0 \geq 10$  атм и  $T'_0 \geq 4000\text{K}$ . В области меньших значений  $S'_0$  ограничение на  $p'_0$  становится все более жестким с уменьшением  $T'_0$ . В частности, при  $T'_0 = 3000\text{K}$  энтропийная



Фиг. 5

корреляция справедлива для  $p_0 \geq 25$  атм. Уточнение кинетической модели воздуха в области низких давлений торможения, возможно, позволит расширить область применения энтропийной корреляции.

*Поступила 10 III 1977*

#### ЛИТЕРАТУРА

1. Агафонов В. П., Вертушкин В. К., Гладков А. А., Полянский О. Ю. Неравновесные физико-химические процессы в аэродинамике. М., «Машиностроение», 1972.
2. Лунев В. В. Гиперзвуковая аэродинамика. М., «Машиностроение», 1975.
3. Ступченко Е. В., Лосев С. А., Осипов А. И. Релаксационные процессы в ударных волнах. М., «Наука», 1965.
4. Зельдович Я. Б., Райзнер Ю. П. Физика ударных волн и высокотемпературных гидродинамических явлений. М., «Наука», 1966.
5. Бударина М. Ф., Комаров В. Н., Саяпин Г. Н. Расчет неравновесных течений воздуха в соплах.—«Труды ЦАГИ», 1975, вып. 1701.
6. Мартин Д. Вход в атмосферу. М., «Мир», 1969.
7. Гордиец Б. Ф., Мамедов И. С., Осипов А. П., Шелепин Л. А. О распределении колебательной энергии в газовых смесях. Препринт ФИАН СССР № 31, М., 1972.
8. Gilmore F. R., Bauer E., Mc Gowan J. W. A review of atomic and molecular excitation mechanisms in nonequilibrium gases up to 20 000 K.—«J. Quant. Spectr. and Radiat. Transfer», 1969, vol. 9.
9. Эшнердер А. и др. Неравновесное расширение воздуха при наличии химических реакций.—«Вопросы ракетн. техники», 1963, № 2.
10. Стулов В. П., Шкадова В. П. Об одномерном неравновесном течении воздуха.—«Изв. АН СССР. МЖГ», 1968, № 2.
11. Bray K. N. C. Simplified sudden-freezing analysis for nonequilibrium nozzle flows.—«AIAA J.», 1961, vol. 31, N 6.
12. Harris C. J. Comment on nonequilibrium effects on high-enthalpy expansion of air.—«AIAA J.», 1966, vol. 4, N 6.

УДК 533.6.011 : 532.72

#### ПРИБЛИЖЕННЫЙ РАСЧЕТ ПАРАМЕТРОВ В ГОРЛЕ ГИПЕРЗВУКОВОГО СЛЕДА

*Л. И. Скурин, А. В. Юрков*

(Ленинград)

1. При движении затупленного тела с большой гиперзвуковой скоростью возмущенная область представляет собой смесь газов, образованных в результате физико-химических превращений. Строгий расчет в этих условиях такой сложной области, как ближний след, представляет существенные трудности.

Ближний след представляет собой сравнительно короткую область, где происходят резкие изменения направлений линий тока газа в условиях существенного влияния вязкости. Поэтому предполагается, что на распределения давления, среднемассовой скорости и теплосодержания доминирующее влияние оказывают динамические и тепловые эффекты без учета эффектов химических превращений, и проводится расчет ближнего следа в два этапа. На первом этапе рассчитываются распределения давления, скорости и теплосодержания в ближнем следе при замене истинного